

تحلیل اثر قفل تزریقی در لیزرهای آبشاری دو طول موجی مادون قرمز میانی

سمیه کاویان^۱، محمد محسن شیخی^۲، حامد باغبان^۱

^۱دانشکده مهندسی فناوریهای نوین، دانشگاه تبریز، تبریز، ایران

^۲دانشکده مهندسی برق و کامپیوتر، دانشگاه تبریز، تبریز، ایران

چکیده - در این مقاله تحلیل و مدلسازی اثر قفل تزریقی در لیزرهای آبشاری کوانتمومی دو طول موجی در محدوده مادون قرمز میانی ارائه شده است. بر اساس تحلیل تئوری معادلات نرخ، دینامیک لیزرهای آبشاری کوانتمومی دو طول موجی مادون قرمز میانی در اثر تزریق نور توصیف شده است. نتایج نشان می دهد پهنهای باند مربوط به تابش با طول موج λ_1 در حالتی که تزریق نداریم 2.34 GHz هرتز است و در نسبت تزریق های -10 و 0 و 10 دسی بل، افزایش یافته و به ترتیب 6.33 GHz , 15.04 GHz و 28.63 GHz گیگاهرتز می شود. با افزایش فاکتور افزایش پهنهای خط پهنهای باند کاهش و پیک افزایش می یابد. با افزایش نسبت تزریق توان خروجی مربوط به آن تابش افزایش می یابد. همچنین جریان آستانه مربوط به تابش با طول موج λ_2 ، با افزایش نسبت تزریق به تابش با طول موج λ_2 تا 10 دسی بل تا $1/8$ برابر افزایش می یابد.

کلید واژه- پهنهای باند تلفیقی، قفل تزریقی، لیزر آبشاری

Analysis the Effect of Injection Locking on Dual-wavelength Mid-Infrared Quantum Cascade Lasers

Somaye Kavian¹, Mohammad Mohsen Sheikhi², Hamed Baghban¹

¹School of Engineering- Emerging Technologies, University of Tabriz, Tabriz, Iran

²Department of Electrical and Computer Engineering, University of Tabriz, Tabriz, Iran

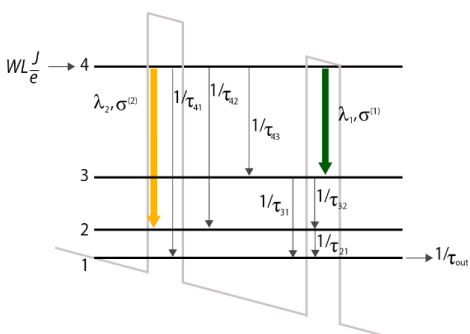
Abstract- The analysis and modeling of injection locking effect on dual-wavelength mid-infrared quantum cascade lasers has been presented in this article. Based on analytical solution of the rate equations, the dynamics of optically injection-locked dual-wavelength quantum cascade lasers is described. It is found that strong injection level of λ_1 enhances the modulation bandwidths compared to the free-running case (2.34 GHz), which are 6.33 GHz, 15.04 GHz, and 28.63 GHz for injection ratios of -10 dB, 0 dB, and 10 dB, respectively. A large LEF reduces the bandwidth and increase the peak magnitude. Calculations demonstrate that the output power can be enhanced with a high injection ratio. Also, the threshold current of λ_1 enhances about 1.8 times with a high injection ratio of λ_2 .

Keywords: Injection locking, Quantum cascade laser, Modulation bandwidth

لیزرهای آبشاری کوانتومی دو طول موجی بررسی می‌شود.

۲- تئوری و روش مدل‌سازی

هدف این مقاله ارائه تجزیه تحلیل نظری برای توصیف دینامیک لیزرهای آبشاری کوانتومی دو طول موجی مادون قرمز میانی در اثر تزریق نور است. در این راستا رویکردی ساده و شهودی بر پایه معادلات نرخ در دمای اتاق پیشنهاد شده است. تمرکز بر روی نوع خاصی از لیزرهای آبشاری کوانتومی دو طول موجی است که به طور همزمان دو طول موج متفاوت تابش می‌کنند و تراز بالایی مشترک است، که برای رسیدن به بهره در رقابت اند. شکل ۱ ترازهای انرژی یک دوره تناوب از ناحیه فعال در این افزاره را نشان می‌دهد. در هر تناوب قسمت اول برای تولید طول موج $\lambda_1 = 10.5$ میکرومتر و بر مبنای گذار دو فونونی طراحی شده و قسمت دوم برای تولید طول موج $\lambda_2 = 8.9$ میکرومتر و بر مبنای تراز محدود به پیوستار طراحی شده است. ماده چاه/سد به ترتیب AlGaAs/GaAs می‌باشد [۴]. تراز بالا و پایین برای طول موج λ_1 ترازهای چهار و سه، برای طول موج λ_2 ترازهای چهار و دو خواهد بود.



شکل ۱ یک دوره تناوب از ناحیه فعال لیزر آبشاری کوانتومی دو طول موجی

با چشم پوشی از اثرات غیر غطی نور و عدم کوپل شدگی دو مد بر هم معادلات نرخ لیزرهای آبشاری کوانتومی دو طول موجی مد قفل شده تزریقی به صورت زیر خواهد بود:

$$\begin{aligned} \frac{dN_4}{dt} &= WL \frac{J}{e} - \frac{N_4}{\tau_4} - \Gamma^{(1)} \frac{c \cdot \sigma^{(1)}}{V} (N_4 - N_3) S^{(1)} \\ &\quad - \Gamma^{(2)} \frac{c \cdot \sigma^{(2)}}{V} (N_4 - N_2) S^{(2)} \\ \frac{dN_3}{dt} &= \frac{N_4}{\tau_{43}} - \frac{N_3}{\tau_3} + \Gamma^{(1)} \frac{c \cdot \sigma^{(1)}}{V} (N_4 - N_3) S^{(1)} \end{aligned} \quad (1)$$

۱- مقدمه

لیزرهای آبشاری کوانتومی یکی از مهم ترین منابع نوری بویژه در طول موج های مادون قرمز میانی و دور هستند. در این لیزرهای فوتون ها از طریق گذار بین زیرنوارهای موجود در نوار هدایت گسیل می‌شوند. تولید همزمان چند طول موج در لیزرهای آبشاری کوانتومی توجه زیادی را در سال های اخیر به خود جلب کرده است. ایده طراحی این لیزرهای همان لیزرهای آبشاری تک طول موج است با این تفاوت که ناحیه های فعال بر اساس طول موج های مورد انتظار طراحی و به صورت ردیفی یا پشته ای در کنار هم رشد داده می‌شوند. این ادوات فوتونی برای بسیاری از برنامه های نظامی و غیر نظامی از جمله ارتباطات نوری امن، رادار لیزری، سنجش مواد شیمیایی از راه دور، کنترل آلودگی، تصویربرداری دو طول موج و مراقبت های پزشکی کاربرد دارند. تاکنون طرح های عملی مختلفی برای لیزرهای آبشاری کوانتومی چند طول موجی توسط محققین ارائه شده است. در میان طرح های قابل توجه به مواردی مثل دو گذار متوالی نوری، لیزر آبشاری چندین طول موجی ابر شبکه ای و لیزر آبشاری با دو ناحیه پشته ای می‌توان اشاره کرد. چالش اصلی داشتن گستره پهنی از طول موجها و راهکاری است که توسط آن بتوان یکی از طول موجها را انتخاب و تنظیم کرد. از آن جاکه نوسانات واهلشی عامل پایداری پویا در حالت نوسان آزاد است، یک عامل آشفتگی خارجی کوچک مثل تلفیق، تزریق نوری یا خود تزریقی می‌تواند شدت تپ را تغییر دهد. تزریق نوری می‌تواند برای افزایش پهنای باند، تثبیت فرکانس، کاهش پرش مد و نویز شدت نسبی به کار رود [۱-۳]. در تکنیک قفل تزریق نوری، نور از یک لیزر با نوسان تک مد (لیزر پایه) به ناحیه فعال لیزر دیگر (پیرو) تابانده می‌شود. سپس دو لیزر در فرکانس نوری مشابه تحت شرایط مناسب فرکانس تنظیم و سطح تزریق منطبق می‌شوند.

در سال های اخیر مطالعات متعددی روی افزایش توان خروجی و پهنای باند لیزرهای آبشاری صورت گرفته است. قفل تزریقی نوری در لیزرهای آبشاری باعث افزایش پهنای باند و توان خروجی لیزر می‌شود، اما تاکنون هیچ مطالعه ای در زمینه لیزرهای آبشاری کوانتومی چند طول موجی و امکان مدیریت توان خروجی و پهنای باند آنها صورت نیافتد. در این مقاله برای اولین بار اثر قفل تزریقی در

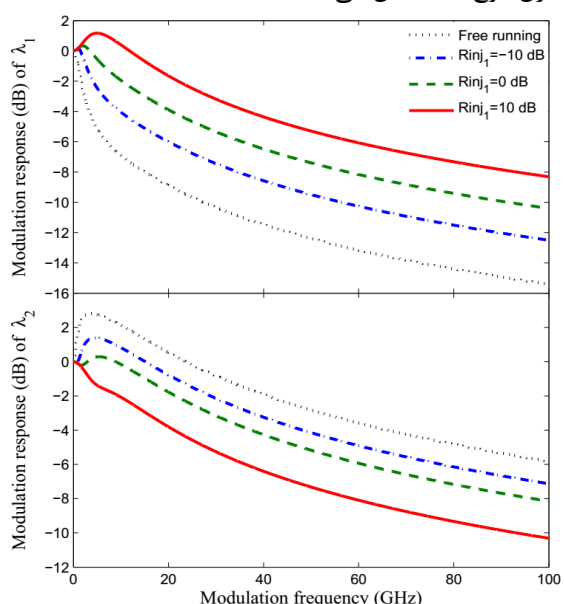
در منبع [۵] آمده است. پس از آنالیز سیگنال کوچک معادلات نرخ و نوشتن معادلات در حوزه فرکانس ماتریسی به شکل زیر خواهیم داشت:

$$\begin{pmatrix} \gamma_{11} + j\omega & \dots & -\gamma_{18} \\ \vdots & \ddots & \vdots \\ -\gamma_{81} & \dots & \gamma_{88} + j\omega \end{pmatrix} \begin{pmatrix} N_4 \\ \vdots \\ \Delta\Phi_1 \end{pmatrix} = \frac{I_1}{q} \begin{pmatrix} 1 \\ 0 \\ \vdots \\ 0 \end{pmatrix} \quad (2)$$

مقادیر ماتریس بالا مشابه منبع [۱] محاسبه می‌شود. پس از حل معادلات نرخ و بدست آمدن جمعیت حاملها و فوتون‌ها نیاز است عملکرد افزاره در اثر تزریق نور به به هریک از تابش‌ها بررسی شود. بدین منظورتابع انتقال تلفیق به صورت زیر پیشنهاد می‌شود:

$$H_i(\omega) = \frac{S_i(\omega) / J(\omega)}{S_i(0) / \Delta J(0)} \quad (3)$$

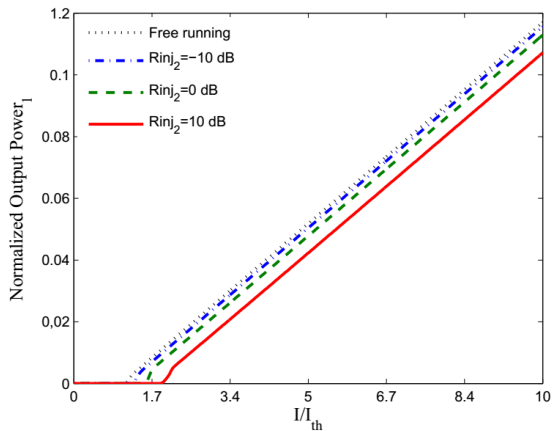
شکل ۲ اثر نسبت تزریق در طول موج λ_1 را روی پاسخ تلفیق طول موج λ_1 و طول موج λ_2 در فرکانس تنظیم صفر و فاکتور افزایش پهنای خط برابر با یک نشان می‌دهد. تزریق نور هر بار فقط به یکی از تابش‌ها اعمال می‌شود. مشاهده می‌کنید که با افزایش نسبت تزریق، پهنای باند و پیک تابش با طول موج λ_1 افزایش می‌یابند. به طور مثال در $Rinj=10\text{dB}$ پهنای باند تلفیق $28/63$ گیگاهرتز است، که در مقایسه با حالتی که تزریق نداریم $(2/24)$ گیگاهرتز بیش از دوازده برابر افزایش داشته است. همچنین با افزایش اثر نسبت تزریق به طول موج λ_1 پهنای باند تلفیق تابش با طول موج λ_2 کاهش می‌یابد.



شکل ۱ اثر نسبت تزریق در طول موج λ_1 روی پاسخ تلفیق طول موج λ_2 و λ_1

$$\begin{aligned} \frac{dN_1}{dt} &= \frac{N_4}{\tau_{41}} + \frac{N_3}{\tau_{31}} + \frac{N_2}{\tau_{21}} - \frac{N_1}{\tau_{out}} \\ \frac{dN_2}{dt} &= \frac{N_4}{\tau_{42}} + \frac{N_3}{\tau_{32}} - \frac{N_2}{\tau_{21}} + \Gamma^{(2)} \frac{c' \sigma^{(2)}}{V} (N_4 - N_2) S^{(2)} \\ \frac{dS^{(i)}}{dt} &= N_p \Gamma^{(1)} \frac{c' \sigma^{(i)}}{V} \Delta N^{(i)} S^{(i)} - \frac{S^{(i)}}{\tau_p^{(i)}} + N_p \beta^{(i)} \frac{N_4}{\tau_{sp}} \\ &+ 2k_c \sqrt{S_{inj}^{(i)} S^{(i)}} \cos \Delta\Phi^{(i)} \\ \frac{d\Delta\Phi^{(i)}}{dt} &= \frac{\alpha_H^{(i)}}{2} (N_p \Gamma^{(1)} \frac{c' \sigma^{(i)}}{V} \Delta N^{(i)} - \frac{1}{\tau_p^{(i)}}) \\ &- \Delta\omega_{inj}^{(i)} - k_c \sqrt{\frac{S_{inj}^{(i)}}{S^{(i)}}} \sin \Delta\Phi^{(i)} \end{aligned}$$

در معادلات بالا J (I/WL) چگالی الکترون‌هایی است که به تراز بالایی پمپ می‌شود و e اندازه بار الکترون است. W و L ابعاد کواک را نشان می‌دهند، WL/e بیانگر تعداد الکترون‌های تزریقی به نیمه هادی در واحد زمان است (دیمانسیون این جمله با سایر جملات معادلات نرخ یکسان است). Lp طول هر تناوب، Np تعداد تناوب است. حجم کل ناحیه فعال با رابطه $Np \cdot W \cdot L \cdot Lp$ نشان داده می‌شود. $\Gamma^{(i)}$ فاکتور محدودیت برای ($i = 1, 2$) است. سرعت متوسط گروه نور با c نشان داده می‌شود و از رابطه $c' = c \cdot n_{eff}$ بدست می‌آید. c سرعت نور در خلا و n_{eff} ضریب شکست مؤثر است. K_c نرخ الحق لیزر پایه به لیزر پیرو می‌باشد. α_H فاکتور افزایش پهنای خط است. دینامیک این تنظیم است که اختلاف بین لیزر پیرو و اصلی است. در این سیستم از تاثیر ضریب شکست مؤثر دو مردم روی هم صرف نظر شده است. پارامتر $\beta^{(i)}$ ثابت انتشار خود به خودی فوتون‌های ساطع شده در کواک است. σ ثابت انتشار تحریک شده برای گذارهای با طول موج‌های λi است. دینامیک این سیستم عمدها توسط شش زمان غیر تابشی $\tau_{43}, \tau_{42}, \tau_{41}, \tau_{31}, \tau_{32}$ و τ_{21} که مربوط به تابش فونون طولی نوری‌اند و همچنین دو زمان $\tau_{sp}^{(i)}$ که مربوط به گسیلهای خود به خودی دو گذار است، مشخص می‌شود. الکترون‌ها نیز با نرخ $1/\tau_{out}$ از هر تناوب به تناوب بعدی می‌روند که τ_{out} زمان فرار الکترون نامیده می‌شود. برای هر دو تابش یک طول عمر محدود برای فوتون $\tau_p^{(i)}$ در نظر می‌گیریم. برای ساده‌تر نوشته شدن روابط از دو طول عمر τ_4 و τ_3 برای ترازهای ۴ و ۳ استفاده می‌کنیم. نحوه محاسبه و مقدار این پارامترها



شکل ۵ اثر نسبت تزریق در طول موج λ_2 روی توان خروجی با طول موج λ_1 بر جریان

با طول موج λ_1 کاسته و به طول موج λ_2 افزوده می شود و این باعث افزایش آستانه طول موج λ_1 می شود.

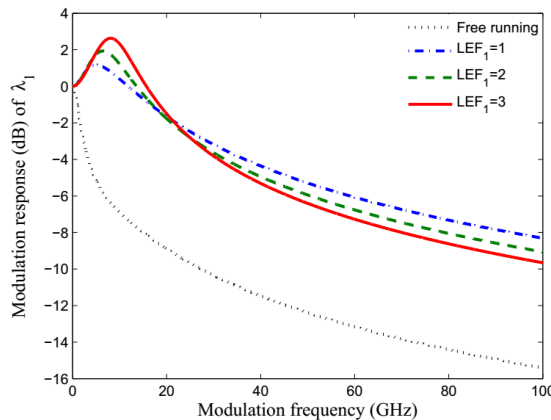
۳- نتیجه گیری

بر اساس یک مدل معادله نرخ ساده شده، ویژگی های تلفیق لیزر های آبشاری کوانتومی دو طول موجی مد قفل شده تزریقی تحت تاثیر فاکتور افزایش پهنای خط و نسبت تزریق بررسی شد. این نتایج اولیه برای بهبود مشخصات تلفیق لیزر های آبشاری کوانتومی چند طول موجی مد قفل شده تزریقی اهمیت برجسته ای دارند. محاسبات نشان می دهد پهنایی باند تلفیق لیزر مربوط به هر یک از تابش ها با افزایش فاکتور افزایش پهنای خط و نسبت تزریق همان تابش افزایش می یابد. همچنین اندازه هی پیک پهنایی باند تلفیق لیزر با افزایش فاکتور افزایش پهنای خط افزایش می یابد.

مراجع

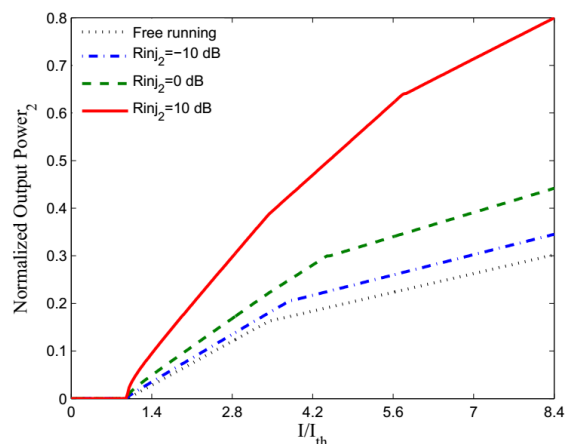
- [1] Wang, C., et al., *Rate equation analysis of injection-locked quantum cascade lasers*. Journal of Applied Physics, 2013. **113**(6): p. 063104.
- [2] Henry, C., N. Olsson, and N. Dutta, *Locking range and stability of injection locked 1.54 μ m InGaAsP semiconductor lasers*. IEEE Journal of Quantum Electronics, 1985. **21**(8): p. 1152-1156.
- [3] Jin, X. and S.-L. Chuang, *Relative intensity noise characteristics of injection-locked semiconductor lasers*. Applied Physics Letters, 2000. **77**(9): p. 1250-1252.
- [4] Geiser, M., et al., *Gain competition in dual wavelength quantum cascade lasers*. Optics express, 2010. **18**(10): p. 9900-9908.
- [5] Hamadou, A., S. Lamari, and J.-L. Thobel, *Delay time calculation for dual-wavelength quantum cascade lasers*. Journal of Applied Physics, 2013. **114**(20): p. 203102.

شکل ۳ اثر فاکتور افزایش پهنای خط در طول موج λ_1 را روی پاسخ تلفیق طول موج λ_1 در فرکانس تنظیم صفر و نسبت تزریق ۱۰ dB نشان می دهد. مشاهده می شود که با افزایش فاکتور افزایش پهنای خط پهنای باند کاهش و پیک افزایش می یابد.



شکل ۳ اثر فاکتور افزایش پهنای خط در طول موج λ_1 روی پاسخ تلفیق طول موج λ_1 بر جریان

شکل ۴ اثر نسبت تزریق به طول موج λ_2 روی توان خروجی با طول موج λ_1 بر جریان، در فرکانس تنظیم صفر و فاکتور افزایش پهنای خط برابر با یک نشان می دهد. با افزایش نسبت تزریق توان خروجی افزایش می یابد. شکل ۵ اثر نسبت تزریق به طول موج λ_2 را روی توان خروجی با طول موج λ_1 بر جریان، در فرکانس تنظیم صفر و فاکتور افزایش پهنای خط برابر با یک نشان می دهد. با افزایش نسبت تزریق به طول موج λ_2 توان خروجی با طول موج λ_1 کاهش یافته و جریان آستانه افزایش می یابد. دلیل افزایش جریان آستانه در طول موج λ_1 این است که از حامل های



شکل ۴ اثر نسبت تزریق در طول موج λ_2 روی توان خروجی با طول موج λ_1 بر جریان